

لَهُ مُؤْمِنُونَ



دانشگاه شهرستان

تحصیلات تکمیلی

پایان نامه کارشناسی ارشد در شیمی تجزیه

عنوان:

مطالعه‌ی ترمودینامیکی واکنش‌های تشکیل کمپلکس بین کاتیون هیدروکسیل آمونیوم با لیگاندهای درشت حلقوی ۱۸-کرون-۶ و دی- بنزو۱۸کرون-۶ در مخلوط‌های دوجزیی حلال‌های ناآبی به روش هدایت سنجی

استاد راهنما:

دکتر محمد انصاری فرد

استاد مشاور:

دکتر علی رضا سردشتی

تحقیق و نگارش:

مهدی حیدری مکرر

(این پایان نامه از حمایت مالی معاونت پژوهشی دانشگاه سیستان و بلوچستان بهره مند شده است)

بهمن ۱۳۹۲

بسمه تعالی

این پایان نامه با عنوان مطالعه ترمودینامیکی واکنش های تشکیل کمپلکس بین کاتیون هیدروکسیل آمونیوم با لیگاند های درشت حلقوی ۱۸-کرون-۶ و دی بنزو-۱۸-کرون-۶در مخلوط های دوجزی حلال های نآبی به روش هدایت سنجی قسمتی از برنامه آموزشی دوره کارشناسی ارشد شیمی تجزیه توسط دانشجو مهدی حیدری مکرر با راهنمایی استاد پایان نامه دکتر محمد انصاری فرد تهیه شده است. استفاده از مطالب آن به منظور اهداف آموزشی با ذکر مرجع و اطلاع کتبی به حوزه تحصیلات تكمیلی دانشگاه سیستان و بلوچستان مجاز می باشد.

مهدی حیدری مکرر

این پایان نامه واحد درسی شناخته می شود و در تاریخ توسط هیئت داوران بررسی و درجه به آن تعلق گرفت.

نام و نام خانوادگی	امضاء	تاریخ

استاد راهنما:

استاد مشاور:

داور ۱:

داور ۲:

نماینده تحصیلات تکمیلی:



دانشگاه سیستان و بلوچستان

تعهدهنامه اصالت اثر

اینجانب تعهد می‌کنم که مطالب مندرج در این پایان نامه حاصل کار پژوهشی اینجانب است و به دستاوردهای پژوهشی دیگران که در این نوشه از آن استفاده شده است مطابق مقررات ارجاع گردیده است. این پایان نامه پیش از این برای احراز هیچ مدرک هم سطح یا بالاتر ارائه نشده است.

کلیه حقوق مادی و معنوی این اثر متعلق به دانشگاه سیستان و بلوچستان می‌باشد.

مهدی حیدری مکرر

امضاء

چکیده

واکنش تشکیل کمپلکس بین کاتیون هیدروکسیل آمونیوم با لیگاند درشت حلقوی ۱۸-کرون-۶ در سیستم های حلالی (دی- اکسان / متانول) ، (اتیل استات / استونیتریل) ، (اتیل استات / نیتروبنزن) و (استونیتریل / نیتروبنزن) و نیز واکنش بین لیگاند درشت حلقوی دی بنزو ۱۸-کرون-۶ با کاتیون هیدروکسیل آمونیوم در سیستم های حلالی (اتیل استات / متانول) ، (اتیل استات / استونیتریل) ، (اتیل استات / نیتروبنزن) ، (استونیتریل / نیتروبنزن) و (اتیل استات / ۱و۳- دی کلرو -۲- پروپانول) در دماهای مختلف به روش هدایت سنجی مورد مطالعه قرار گرفت. نتایج بدست آمده نشان می دهد که کمپلکسهاي تشکيل شده داراي استوکیومتری ۱:۱ [ML] می باشند.

مقادیر ثابت‌های پایداری کمپلکسها که با استفاده از داده های هدایت سنجی تعیین شدند ، نشان می دهند که پایداری کمپلکسهاي تشکيل شده تحت تأثیر ماهیت و ترکیب حلال قرار می گيرد. در تمام مخلوط های دوجزی حلال ها يك ارتباط غير خطی برای تغیيرات ثابت پایداری کمپلکس های تشکيل شده برحسب ترکیب حلال مشاهده می شود. اين نوع رفتار به برهم کنش های حلال- حلال در مخلوط های دوتایی حلال نسبت داده می شود. مقادیر پارامترهای ترمودینامیکی (ΔG° ، ΔH° ، ΔS°) برای کمپلکس ها از وابستگی دمایی ثابت های پایداری بدست آمده اند. اين نتایج نشان می دهند که ترمودینامیک واکنش های تشکيل کمپلکس تحت تأثیر ماهیت و ترکیب درصد مخلوط حلال ها قرار می گيرد. در سیستم های حلالی مورد مطالعه ، آنتروپی ، آنتالپی و در برخی از موارد هر دو عامل مساعد برای تشکيل کمپلکس می باشند.

کلمات کلیدی: ۱۸-کرون-۶ ، دی بنزو ۱۸-کرون-۶، هیدروکسیل آمونیوم ، مخلوط حلال های ناآلبی ، هدایت سنجی

فهرست مطالب

صفحه	عنوان
۱	فصل اول: معرفی ترکیبات کرون اتر
۲	۱_۱_ مقدمه
۴	۲_۱_ ویژگی های کرون اترها
۴	۱_۳_ طبقه بندی ترکیبات کرون
۴	۱_۱_۳_ کرون های تک حلقه ای
۶	۲_۳_۱_ کرون های چند حلقه ای
۶	۱_۳_۳_ طبقه بندی کرون ها بر اساس تمایل به کاتیون خاص
۷	۱_۴_ نام گذاری ترکیبات کرون
۸	۱_۵_ انواع کمپلکس های کرون اترها
۹	۱_۶_ کاربردهای کرون اترها
۹	۱_۷_ پایداری کمپلکس های کرون اترها
۱۱	۱_۸_ مطالعات ترمودینامیکی کرون اترها
۱۲	۱_۹_ هیدروکسیل آمونیوم کلرید
۱۲	۱_۱۰_ معرفی پروژه

فصل دوم: بخش تجربی

- ۱۳
- ۱۴ ۱_۲ مقدمه
- ۱۵ ۲_۲ مواد مورد استفاده
- ۱۶ ۳_۲ دستگاهها و لوازم مورد استفاده
- ۱۷ ۴_۲ روش انجام آزمایش ها
- ۱۸ ۵_۲ هدایت سنجی ورسم منحنی هدایت مولاری بر حسب نسبت لیگاند به کاتیون
- ۲۱ ۶_۲ محاسبه‌ی ثابت تشکیل کمپلکس‌ها با استفاده از نرم افزار کامپیوتری
- ۲۲ ۷_۲ محاسبه‌ی پارامترهای ترمودینامیکی واکنش‌های تشکیل کمپلکس

فصل سوم: مطالعه‌ی واکنش‌های تشکیل کمپلکس بین لیگاندهای درشت حلقوی

۱۸_ کرون_۶ و دی بنزو_۱۸_ کرون_۶ با کاتیون هیدروکسیل آمونیوم در مخلوط‌های دوتایی

- ۲۳ حلال‌های ناآبی
- ۲۴ ۱_۳ مقدمه
- ۲۵ ۲_۳ نتایج تجربی
- ۲_۳ الف_ واکنش تشکیل کمپلکس بین لیگاند_۱۸_ کرون_۶ با کاتیون هیدروکسیل آمونیوم در مخلوط‌های دوجزی دی اکسان / متانول ، اتیل استات / استونیتریل ، اتیل استات / نیتروبنزن و استونیتریل / نیتروبنزن

۲۵	<p>الف ۱- مطالعه‌ی واکنش بین لیگاند ۱۸- کرون-۶ با کاتیون هیدروکسیل آمونیوم در مخلوط دوجزیی دی اکسان / متانول</p> <p>الف ۲- مطالعه‌ی واکنش بین لیگاند ۱۸C6 با کاتیون $(\text{NH}_3\text{OH})^+$ در مخلوط دوجزیی</p>
۲۹	<p>الف ۳- مطالعه‌ی واکنش بین لیگاند ۱۸- کرون-۶ با کاتیون هیدروکسیل آمونیوم در مخلوط اتیل استات / استونیتریل</p>
۳۲	<p>الف ۳- مطالعه‌ی واکنش بین لیگاند ۱۸- کرون-۶ با کاتیون هیدروکسیل آمونیوم در مخلوط حلالی دوجزیی اتیل استات / نیتروبنزن</p>
۳۵	<p>الف ۴- مطالعه‌ی واکنش بین لیگاند ۱۸C6 با کاتیون $(\text{NH}_3\text{OH})^+$ در مخلوط دوجزیی استونیتریل / نیتروبنزن</p>
۳۸	<p>ب ۳- واکنش تشکیل کمپلکس بین لیگاند DB18-C-6 با کاتیون $(\text{NH}_3\text{OH})^+$ در مخلوط حلالی های دوجزیی اتیل استات / متانول ، اتیل استات / استونیتریل ، اتیل استات / نیتروبنزن استونیتریل / نیتروبنزن و اتیل استات / ۳- دی کلرو-۲- پروپانول</p>
۴۱	<p>ب ۱- واکنش تشکیل کمپلکس بین لیگاند دی بنزو-۱۸- کرون-۶ با کاتیون هیدروکسیل آمونیوم در مخلوط دوجزیی اتیل استات / استونیتریل</p> <p>ب ۲- واکنش تشکیل کمپلکس بین لیگاند DB18-C-6 با کاتیون $(\text{NH}_3\text{OH})^+$ در مخلوط حلالی دوجزیی اتیل استات / استونیتریل</p>
۴۵	<p>ب ۳- واکنش تشکیل کمپلکس بین لیگاند DB18-C-6 با کاتیون $(\text{NH}_3\text{OH})^+$ در مخلوط حلالی دوجزیی اتیل استات / نیتروبنزن</p>

۲-۳-۴- واکنش تشکیل کمپلکس بین لیگاند DB18-C-6 با کاتیون $(\text{NH}_3\text{OH})^+$ در مخلوط حلالی

۴۸

دو جزیی استونیتریل / نیتروبنزن

۲-۳-۵- واکنش تشکیل کمپلکس بین لیگاند DB18-C-6 با کاتیون $(\text{NH}_3\text{OH})^+$ در مخلوط حلالی

۵۲

دو جزیی اتیل استات / ۱-۳- دی کلرو-۲- پروپانول

۵۵

۳-۳- نتیجه گیری

۵۸

مراجع

۶۵

پیوست الف

۸۸

پیوست ب

فهرست جدول ها

عنوان جدول	صفحه
جدول ۱_۲_ مشخصات حلال های مورد استفاده	۱۵
جدول ۲_۲_ مشخصات لیگاند های مورد استفاده	۱۶
جدول ۳_۲_ داده های هدایت سنجی برای رسم منحنی هدایت سنجی	۲۰
جدول ۳_۱_ مقادیر $\log k_f$ برای واکنش تشکیل کمپلکس $(^{18}\text{C}_6.\text{HONH}_3)^+$ درسیستم دوجزی	
دی اکسان / متانول با درصدهای مولی مختلف	۲۷
جدول ۳_۲_ مقادیر توابع ترمودینامیکی برای واکنش تشکیل کمپلکس $(^{18}\text{C}_6.\text{HONH}_3)^+$ درسیستم	
دوجزی دی اکسان / متانول با درصدهای مولی مختلف	۲۹
جدول ۳_۳_ مقادیر $\log k_f$ برای واکنش تشکیل کمپلکس $(^{18}\text{C}_6.\text{HONH}_3)^+$ درسیستم دوجزی	
اتیل استات / استونیتریل با درصدهای مولی مختلف	۳۰
جدول ۳_۴_ مقادیر توابع ترمودینامیکی برای واکنش تشکیل کمپلکس $(^{18}\text{C}_6.\text{HONH}_3)^+$	
درسیستم دوجزی اتیل استات / استونیتریل با درصدهای مولی مختلف	۳۲
جدول ۳_۵_ مقادیر $\log k_f$ برای واکنش تشکیل کمپلکس $(^{18}\text{C}_6.\text{HONH}_3)^+$ درسیستم دوجزی	
اتیل استات / نیتروبنزن	۳۳

جدول ۳_۶_ مقادیر توابع ترمودینامیکی برای واکنش تشکیل کمپلکس $(18C6.HONH_3)^+$

درسیستم دوجزی اتیل استات / نیتروبنزن ۳۵

جدول ۳_۷_ مقادیر $\log k_f$ برای واکنش تشکیل کمپلکس $(18C6.HONH_3)^+$ درسیستم دوجزی

درسیستم دوجزی AN / NB با درصدهای مولی مختلف ۳۶

جدول ۳_۸_ مقادیر توابع ترمودینامیکی برای واکنش تشکیل کمپلکس $(18C6.HONH_3)^+$

درسیستم دوجزی AN / NB با درصدهای مولی مختلف ۳۸

جدول ۳_۹_ مقادیر $\log k_f$ برای واکنش تشکیل کمپلکس $(DB18C6.HONH_3)^+$ درسیستم دوجزی

اتیل استات / متانول با درصدهای مولی مختلف ۴۰

جدول ۳_۱۰_ مقادیر توابع ترمودینامیکی برای واکنش تشکیل کمپلکس $(DB18C6.HONH_3)^+$

درسیستم حلالی اتیل استات / متانول با درصدهای مولی مختلف ۴۱

جدول ۳_۱۱_ مقادیر $\log k_f$ برای واکنش تشکیل کمپلکس $(DB18C6.HONH_3)^+$ درسیستم دوجزی

اتیل استات / استونیتریل ۴۳

جدول ۳_۱۲_ مقادیر توابع ترمودینامیکی برای واکنش تشکیل کمپلکس $(DB18C6.HONH_3)^+$

درسیستم حلالی اتیل استات / استونیتریل با درصدهای مولی مختلف ۴۵

جدول ۳_۱۳_ مقادیر $\log k_f$ برای واکنش تشکیل کمپلکس $(DB18C6.HONH_3)^+$ درسیستم دوجزی

اتیل استات / نیتروبنزن با درصدهای مولی مختلف ۴۷

جدول ۳_۱۴_ مقادیر توابع ترمودینامیکی برای واکنش تشکیل کمپلکس $(DB18C6.HONH_3)^+$

۴۸ در سیستم حلالی اتیل استات / نیتروبنزن با درصدهای مولی مختلف

جدول ۳_۱۵_ مقادیر $\log k_f$ برای واکنش تشکیل کمپلکس $(DB18C6.HONH_3)^+$ در سیستم دوجزی

۵۰ استونیتریل / نیتروبنزن با درصدهای مولی مختلف

جدول ۳_۱۶_ مقادیر توابع ترمودینامیکی برای واکنش تشکیل کمپلکس $(DB18C6.HONH_3)^+$

۵۱ در سیستم حلالی استونیتریل / نیتروبنزن با درصدهای مولی مختلف

جدول ۳_۱۷_ مقادیر $\log k_f$ برای واکنش تشکیل کمپلکس $(DB18C6.HONH_3)^+$ در سیستم دوجزی

۵۳ اتیل استات / ۱ و ۳_ دی کلرو ۲_ پروپانول با درصدهای مولی مختلف

جدول ۳_۱۸_ مقادیر توابع ترمودینامیکی برای واکنش تشکیل کمپلکس $(DB18C6.HONH_3)^+$

۵۵ در سیستم حلالی اتیل استات / ۱ و ۳_ دی کلرو ۲_ پروپانول با درصدهای مولی مختلف

فهرست شکل ها

عنوان شکل	صفحه
شکل ۱_۱_ تشكيل کمپلکس کرون با کاتیون	۲
شکل ۱_۲_ لیگاند چند دندانه [*]	۳
شکل ۱_۳_ ساختار دی بنزو_۱۸_ کرون_۶	۴
شکل ۱_۴_ کرون با یک نوع اتم دهنده (a) ۱۸_کرون_۶ (b) هگزا تیا_۱۸_کرون_۶	۵
شکل ۱_۵_۱۰_ دی آزا_۱۸_کرون_۶	۵
شکل ۱_۶_ ساختار کریپتند	۶
شکل ۱_۷_۱۸_کرون_۶	۷
شکل ۱_۸_۱۰_ دی بنزو - ۱۸_کرون_۶	۷
شکل ۱_۹_۱۰_ دی آزا_۱۸_کرون_۶	۸
شکل ۱_۱۰_ دستگاه هدایت سنج با سیکولاتورآب	۱۸

فهرست نمودارها

صفحه	عنوان
۲۱	نمودار ۱-۲- نمایش رسم منحنی هدایت سنجی
	نمودار ۳-۱- منحنی هدایت مولاری محلول در مقابل نسبت مولی لیگاند به کاتیون برای واکنش تشکیل کمپلکس $(\text{mole\%dioxane} = 40)$ در سیستم دوجزی دی اکسان / متanol $(18\text{C}6.\text{HONH}_3^+)$
۲۷	در دماهای مختلف
	نمودار ۳-۲- تغییرات $\log k_f$ بر حسب کسر مولی دی اکسان برای تشکیل کمپلکس $(18\text{C}6.\text{HONH}_3^+)$ در سیستم حلالی
۲۸	در سیستم حلالی دی اکسان / متanol در دماهای مختلف
	نمودار ۳-۳- نمودار وانتهوف برای تشکیل کمپلکس $(18\text{C}6.\text{HONH}_3^+)$ در سیستم حلالی
۲۸	دی اکسان / متanol با درصدهای مولی مختلف
	نمودار ۳-۴- منحنی هدایت مولاری محلول در مقابل نسبت مولی لیگاند به کاتیون برای واکنش تشکیل کمپلکس $(\text{mole\%AN} = 60)$ در سیستم دوجزی اتیل استات / استونیتریل $(18\text{C}6.\text{HONH}_3^+)$
۳۰	در دماهای مختلف
	نمودار ۳-۵- تغییرات $\log k_f$ بر حسب کسر مولی استونیتریل برای تشکیل کمپلکس $(18\text{C}6.\text{HONH}_3^+)$
۳۱	در سیستم حلالی اتیل استات / استونیتریل در دماهای مختلف
	نمودار ۳-۶- نمودار وانتهوف برای تشکیل کمپلکس $(18\text{C}6.\text{HONH}_3^+)$ در سیستم حلالی
۳۱	اتیل استات / استونیتریل با درصدهای مولی مختلف

نمودار ۳-۷- منحنی هدایت مولاری محلول در مقابل نسبت مولی لیگاند به کاتیون برای واکنش تشکیل

کمپلکس $(18\text{C}6.\text{HONH}_3)^+$ (mole%NB = ۲۰) در سیستم دوجزی اتیل استات / نیتروبنزن

۳۳

در دماهای مختلف

نمودار ۳-۸- تغییرات $\log k_f$ بر حسب کسر مولی نیتروبنزن برای تشکیل کمپلکس $(18\text{C}6.\text{HONH}_3)^+$

۳۴

در سیستم حلالی اتیل استات / نیتروبنزن در دماهای مختلف

نمودار ۳-۹- نمودار وانتهوف برای تشکیل کمپلکس $(18\text{C}6.\text{HONH}_3)^+$ در سیستم حلالی

۳۴

اتیل استات / نیتروبنزن با درصدهای مولی مختلف

نمودار ۳-۱۰- منحنی هدایت مولاری محلول در مقابل نسبت مولی لیگاند به کاتیون برای واکنش تشکیل

کمپلکس $(18\text{C}6.\text{HONH}_3)^+$ (mole%NB = ۲۰) در سیستم دوجزی AN / NB

۳۶

در دماهای مختلف

نمودار ۳-۱۱- تغییرات $\log k_f$ بر حسب کسر مولی نیتروبنزن برای تشکیل کمپلکس $(18\text{C}6.\text{HONH}_3)^+$

۳۷

در سیستم حلالی AN / NB در دماهای مختلف

نمودار ۳-۱۲- نمودار وانتهوف برای تشکیل کمپلکس $(18\text{C}6.\text{HONH}_3)^+$ در سیستم حلالی

۳۷

AN / NB با درصدهای مولی مختلف

نمودار ۳-۱۳- منحنی هدایت مولاری محلول در مقابل نسبت مولی لیگاند به کاتیون برای واکنش تشکیل

کمپلکس $(\text{DB}18\text{C}6.\text{HONH}_3)^+$ در سیستم حلالی دوجزی اتیل استات / متانول

۴۰

(mole%MeOH = ۴۰) در دماهای مختلف

نمودار ۱۴_۳ - تغییرات $\log k_f$ بر حسب کسر مولی متانول برای واکنش تشکیل کمپلکس

۴۱ (DB18C6.HONH₃)⁺ در سیستم حلالی اتیل استات / متانول در دماهای مختلف

نمودار ۱۵_۳ - منحنی هدایت مولاری محلول در مقابل نسبت مولی لیگاند به کاتیون برای واکنش تشکیل

کمپلکس (DB18C6.HONH₃)⁺ در سیستم حلالی دوجزی اتیل استات / استونیتریل

۴۳ (mole%AN = ۶۰) در دماهای مختلف

نمودار ۱۶_۳ - تغییرات $\log k_f$ بر حسب کسر مولی AN برای واکنش تشکیل کمپلکس

۴۴ (DB18C6.HONH₃)⁺ در سیستم حلالی اتیل استات / استونیتریل در دماهای مختلف

نمودار ۱۷_۳ - نمودار وانتهوف برای تشکیل کمپلکس (DB18C6.HONH₃)⁺ در سیستم حلالی

۴۴ اتیل استات / استونیتریل در درصدهای مولی مختلف

نمودار ۱۸_۳ - منحنی هدایت مولاری محلول در مقابل نسبت مولی لیگاند به کاتیون برای واکنش تشکیل

کمپلکس (DB18C6.HONH₃)⁺ در سیستم حلالی دوجزی اتیل استات / نیتروبنزن

۴۶ (mole%NB = ۴۰) در دماهای مختلف

نمودار ۱۹_۳ - تغییرات $\log k_f$ بر حسب کسر مولی NB برای واکنش تشکیل کمپلکس

۴۷ (DB18C6.HONH₃)⁺ در سیستم حلالی اتیل استات / نیتروبنزن در دماهای مختلف

نمودار ۲۰_۳ - نمودار وانتهوف برای تشکیل کمپلکس (DB18C6.HONH₃)⁺ در سیستم حلالی

۴۸ اتیل استات / نیتروبنزن در درصدهای مولی مختلف

نمودار ۲۱-۳- منحنی هدایت مولاری محلول در مقابل نسبت مولی لیگاند به کاتیون برای واکنش تشکیل

کمپلکس $(DB18C6.HONH_3)^+$ در سیستم حلالی دوجزی استونیتریل / نیتروبنزن

۴۹

(mole%NB = ۶۰) در دماهای مختلف

نمودار ۲۲-۳- تغییرات $\log k_f$ بر حسب کسر مولی NB برای واکنش تشکیل کمپلکس

۵۰

در سیستم حلالی استونیتریل / نیتروبنزن در دماهای مختلف $(DB18C6.HONH_3)^+$

نمودار ۲۳-۳- نمودار وانتهوف برای تشکیل کمپلکس $(DB18C6.HONH_3)^+$ در سیستم حلالی

۵۱

استونیتریل / نیتروبنزن در درصدهای مولی مختلف

نمودار ۲۴-۳- منحنی هدایت مولاری محلول در مقابل نسبت مولی لیگاند به کاتیون برای واکنش تشکیل

کمپلکس $(DB18C6.HONH_3)^+$ در سیستم حلالی دوجزی اتیل استات / ۱و۳- دی کلرو-۲- پروپانول

۵۳

(mole%EtOAc = ۸۰) در دماهای مختلف

نمودار ۲۵-۳- تغییرات $\log k_f$ بر حسب کسر مولی اتیل استات برای واکنش تشکیل کمپلکس

در سیستم حلالی اتیل استات / ۱و۳- دی کلرو-۲- پروپانول $(DB18C6.HONH_3)^+$

۵۴

در دماهای مختلف

نمودار ۲۶-۳- نمودار وانتهوف برای تشکیل کمپلکس $(DB18C6.HONH_3)^+$ در سیستم حلالی

۵۴

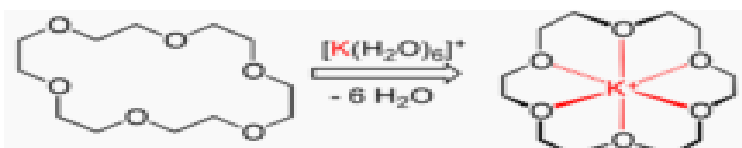
اتیل استات / ۱و۳- دی کلرو - ۲- پروپانول در درصدهای مولی مختلف

فصل اول

معرفی ترکیبات کرون اتر

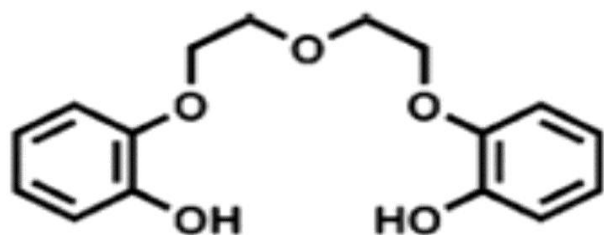
۱_۱_ مقدمه

کرون اترها، پلی اترهایی حلقوی هستند که دارای یک حلقه‌ی شامل چندین گروه اتری می‌باشند. بیشتر کرون اترها الیگومرها ای از اتیلن اکسید می‌باشند یعنی از تکرار واحد $\text{O}-\text{CH}_2-\text{CH}_2-$ بوجود آمده‌اند که مهمترین عضوهای این نمونه، تترامری، پنتامری و هگزامری می‌باشند. این ترکیبات جزو لیگاندهای چند دندانه می‌باشند. در این ترکیبات هترواتوم‌هایی مانند اکسیژن، نیتروژن و گوگرد به عنوان اتم دهنده در اسکلت حلقه‌ی مولکول به سمت مرکز جهت یابی می‌کنند. بنابراین این لیگاندها توانایی بالایی جهت تشکیل کمپلکس‌های پایدار، از طریق پیوند کثوردینانسی با کاتیونهایی که در داخل حلقه قرار می‌گیرند را دارند [۱۰]. ساختمان کمپلکس‌های تشکیل شده به صورت یک تاجی که بر سر کاتیون گذاشته شده است، به نظر می‌رسد. که به همین دلیل از کلمه^۱ کرون برای این ترکیبات استفاده می‌شود.

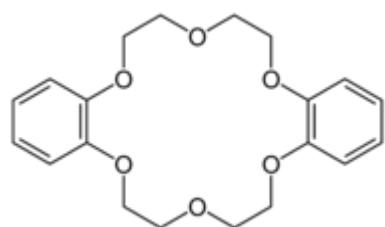


شکل ۱_۱. تشکیل کمپلکس کرون با کاتیون

در سال ۱۹۶۰ چارلز پدرسن^۱ که اثر لیگاندهای فنولی چند دندانه را بر روی خواص کاتالیزوری گروه وانادیل مطالعه می‌کرد، با یک محصول جانبی سفید و بلورین مواجه شد که جرم مولی آن دو برابر جرم مولی ترکیب مورد نظرش بود. لیگاند چند دندانه‌ای که او انتخاب کرده بود و ترکیبی که کشف نمود به ترتیب در شکل‌های ۱ و ۲ آورده شده است.



شکل ۱_۲. لیگاند چند دندانه^{*} Bis [-(o-Hydroxyphenoxy) Ethyl] Ether



شکل ۱_۳. ساختار دی بنزو-۱۸-کرون-۶

پدرسن اولین گزارش رسمی در مورد ترکیبات کرون را در سال ۱۹۶۷ منتشر کرد [۳]. در این گزارش سنتز، ساختار و خواص ۳۳ نوع پلی اتر حلقوی تشریح شده بود. از آن زمان به بعد شیمی این ترکیبات مورد توجه محققان قرار گرفت و پروفسور ایزات^۱ و همکارانش مطالعات بدست آمده در این زمینه را تا سال ۱۹۹۱ در یک مقاله منتشر کردند.